

## 유한체에서의 이산로그 알고리즘과 구현

### Discrete logarithm algorithms in finite field and their implementations

조인호\* · 임종인\*\* · 서광석\*\*\*

#### 요 약

유한체의 이산로그 문제는 one-way 함수의 특성을 잘 나타내고 있어, 암호 시스템에 많이 응용되고 있다. 본 논문에서는 기존의 이산로그와 관련된 알고리즘들을 분석 요약하고 그중 가장 효율적인 알고리즘으로 평가되는 Coppersmith 알고리즘을  $GF(2^{27})$ 에서 구현한 결과를 일부 공개한다.

#### 1. 서 론

어떤 유한체  $GF(q)$ 의 원시원소(primitive element)  $g$ 가 주어졌을 때,  $GF(q) - \{0\}$ 의 한 원소  $u$ 의 이산로그(discrete logarithm)는  $1 < k < q-1$ ,  $u = g^k$ 를 만족하는 정수  $k$ 이다.

유한체 이론은 수학적 중요성뿐 아니라 암호학, 부호이론, 컴퓨터, 정보이론 등에 대한 폭넓은 응용때문에 주목을 받아왔다. 특히 유한체에서의 이산로그는 One-way 함수의 대표적인 예로서 여러 암호 시스템들(The Diffie-Hellman key exchange system, The Massey-Omura cryptosystem for mes-

sage transmission, The Elgamal cryptosystem)에 응용되고 있다[7].

만약 효율적인 이산로그계산 알고리즘이 발견되어 진다면 이들 암호 시스템들은 불안정하게 될 것이다.

이 분야에서는 1984년 Coppersmith가 발표한 알고리즘[12]이 가장 효율적인 것으로 알려져 있다. 우리는 이 알고리즘의  $GF(2^{27})$ 에서의 실험을 시도하였고, 그 결과로  $GF(2^{27})$ 에서의 이산로그 계산을 위한 database 구축에 성공하였다.

#### 2. Coppersmith 알고리즘 이전의 방법들

여기서는 Coppersmith 알고리즘 이전의 중요한 알고리즘들인 Adleman 알고리즘과 Waterloo팀의

---

\* 고려대학교 수학과  
\*\* 고려대학교 서창캠퍼스 수학과  
\*\*\* 서남대학교 수학과

알고리즘을 분석 약속한다.

(가) Adleman의 알고리즘[1]

Adleman의 알고리즘은 큰수의 소인수 분해에 관련된 Morrison과 Brillhart의 연분수 전개방법을 이용하였다. 두정수 A, b가 주어졌을때, A가 b-smooth라는 것은 A의 모든 소인수들이 b 보다 작음을 의미한다. Adleman의 알고리즘은 유한체 GF(p)에 대한 이산로그 알고리즘이지만 Hellman과 Reyner[5]에 의해 지적된 바 같이 GF(2^n)에 대해서도 적용될 수 있다. 먼저 알고리즘을 표현하기 전에 사용되어질 기호를 설명 하는 것이 필요하다. GF(2) 위에서 차수가 n인 기약다항식 p(x)를 하나 선택한다. 그러면 GF(2^n) ≅ GF(2)[x]/p(x)이 되는 것은 잘 알려진 사실이다[6].

[정의 2. 1]

한 다항식 f(x) ∈ GF(p)[x], deg f(x) = n ≥ 1가 GF(p^n)의 원시원소의 GF(p) 위에서의 최소다항식 일 경우 f(x)를 원시다항식(Primitive Polynomial)이라 한다.

[정리 2. 2]

n : 숫수  
 차수가 n인 GF(2) 위의 모든 기약 다항식들이 원시다항식이다. ⇔ 2^n - 1이 숫수

[정의 2. 3]

A(x)의 모든 기약인수 다항식들이 차수가 b이하일 때 A(x)는 b-smooth라고 한다. 2<sup>127</sup> - 1은 숫수이므로 (정리 2. 2)에 의해서 GF(2<sup>127</sup>)을 만드는 p(x)는 원시다항식이다.

(Adleman 알고리즘의 개요)

1. b = c√n log n (c : 작은 상수)인 b를 택한다.
2. 0과 2^n - 2에서 정수 m을 선택  
 $x^m ≡ A(x) \pmod{p(x)}$ 라 하고  
 A(x)를 Berlekamp factorization 알고리즘을 이용하여 인수분해한다[3, 6]

3. A(x)가 b-smooth인지를 test한다.

만약 b-smooth라면

$$A(x) ≡ x^m ≡ \prod q(x)^{l_q}, \deg q(x) \leq b \text{이므로, } m = \sum l_q \log q(x) \text{ in } Z/(2^n - 1) \text{이다. } \dots *$$

만약 b-smooth가 아니면 2에서 다시 시도한다.

Gauss 소거법을 이용하여 기약다항식들의 이산로그를 계산하여 database를 구축한다.

4. 위의 과정을 반복하여 차수가 b 이하인 기약 다항식 q(x)들에 대한 이산로그 log q(x)를 미지수로 하는 일차방정식 (\*)들을 충분히 만든다.

5. B(x) (≠ 0) ∈ GF(2^n)의 이산로그를 찾기 위해 적당한 a를 택하여,

$$B(x) * x^a ≡ A(x) \pmod{p(x)} \text{라 하자.}$$

만일 A(x) ≡ ∏ q(x)^{l\_q}이고

deg q(x) < b라면

$$\log B(x) ≡ e_q \sum \log q(x) - a \pmod{2^n - 1}.$$

이므로 log q(x)를 database에서 찾아 log B(x)를 구할 수 있게 된다.

(나) The Waterloo 알고리즘[4].

Adleman 알고리즘의 추정 실행시간은 smoothness의 확률에 의존한다. 즉 이 알고리즘에서는 차수가 n-1 이하인 다항식인 smooth인지를 조사했다. 차수가 작은 다항식은 smooth일 확률이 크기 때문에, 만약 차수가 훨씬 작은 다항식에 대해 smooth 여부를 조사하는 방법이 있다면 더 빠른 알고리즘이 될 것이다.

Waterloo 대학의 Blake, Fuji-Hara, Mullin 그리고 Vanstone은 이러한 점에 착안하여 Adleman의 알고리즘을 개선한 새로운 알고리즘을 제시 했는데, 간단히 설명하면 다음과 같다.

database 구축에 필요했던 A(x) ≡ x^m mod p(x)에서와 실행단계인

A(x) ≡ B(x) \* x^a mod p(x)에서 p(x)와 A(x)에 Extended Euclidean 알고리즘을 적용하여 그들은

$A(x) \equiv C(x)/D(x) \pmod{p(x)}$  ( $\deg C(x) < n/2$ ,  $\deg D(x) < n/2$ )를 만족하는 다항식  $C(x)$ 와  $D(x)$ 를 얻었다.

차수가  $n-1$ 인 다항식이  $b$ -smooth일 확률 보다는 차수가  $n/2$ 이하인 다항식이  $b$ -smooth될 확률이 높기 때문에 이 알고리즘은 매우 효율적으로써  $GF(2^n)$ 에 적용시 추정시간은  $\exp(c(n \log n)^{1/2})$ 이다.

### 3. Coppersmith 알고리즘과 우리의 구현 결과

Coppersmith의 이산로그 알고리즘[12] Waterloo 알고리즘을 보다 개선한 것이다. Blake 등은 차수가  $n$ 정도인 한계 다항식의 인수분해과정을 차수가 각각  $n/2$ 정도인 두개의 다항식 인수분해과정으로 대체함으로써 Adleman의 알고리즘을 개선하였다. Coppersmith는 위 과정을 차수가  $n^{2/3}$ 정도인 두 다항식의 인수분해과정으로 대체함으로써 추정시간을  $\exp(c \cdot n^{1/3} \cdot (\log n)^{2/3})$ 의 이산로그 알고리즘을 개발하였다. 이 알고리즘은 기존의 이산로그 알고리즘 중 가장 효율적인 것으로 평가되고 있으며, 본 연구팀은  $GF(2^{127})$ 에 Coppersmith 알고리즘을 적용하여 15차 이하의 기약다항식 4719개에 대한 이산로그 database 구성에 성공하였다. Coppersmith 알고리즘을 먼저 기술하겠다.

차수가  $n$ 이면서  $p(x) = x^n + Q(x)$ ,  $\deg Q(x) < n^{2/3}$ 인 원시다항식  $p(x)$ 를 선택한다.

작은 상수들  $c$ ,  $c'$ 에 대해

$$b = c \cdot n^{1/3} (\log n)^{2/3},$$

$d = c' \cdot n^{1/3} (\log n)^{2/3}$ 인 정수  $b$ ,  $d$ 를 선택한다.

$k$ 를  $\sqrt{n/d}$ 에 가까운 2의 멱이라 하자.

$h$ 를  $n/k$  보다 큰 가장 작은 정수라 하자.

(예를 들면:  $GF(2^{127})$ 에서는  $p(x) = x^{127} + x + 1$ ,

$b=12$ ,  $d=10$ ,  $k=4$ ,  $h=32$ 으로 하였다.)

$R(x) \equiv x^{hk} \pmod{p(x)}$ 라 하면,

$$R(x) = Q(x)x^{(hk-n)}, \quad r = \deg R(x)$$

$$\gcd(A(x), B(x)) = 1, \quad \deg A(x), \deg B(x) <$$

$d$ 인

$A(x)$ ,  $B(x)$ 를 선택한다.

$C(x) = A(x) \cdot x^h + B(x)$ .  $D(x) \equiv C(x)^k \pmod{p(x)}$ 라 하면,

$$D(x) \equiv C(x)^k \pmod{p(x)}$$

$$\equiv R(x)A(x)^k + B(x)^k \pmod{p(x)} \text{이므로,}$$

$$\deg C(x) < h + d < (nd)^{1/2}$$

$$\deg D(x) < h + kd < (nd)^{1/2} \text{이다.}$$

$C(x) = \prod q(x)^e$ ,  $D(x) = \prod q(x)^f$ 라 하면 ( $\deg q(x) < b$ )

$$\sum (ke - f) \log q(x) \equiv \ln Z / (2^n - 1) \text{이 된다.}$$

앞의 알고리즘에서와 같은 과정을 반복함으로써 미지의 이산로그를 구하기 위한 충분한 방정식을 생성한다. 예를들면 우리는 17차 이하의 기약다항식 16510개에 대한 이산로그를 미지수로 하는 방정식 47000여개를 생성하였다.

이중 15차 이하의 것만 추출하여 앞에서와 같이 Gauss 소거법을 적용하여 database 구성에 성공하였다. database를 구성한 다음 임의의  $GF(2^n)$ 의 원소  $G(x)$ 를 여러가지 방법을 써서 차수가 많아야  $b$  이하인 기약다항식들로 표현한 후 database로부터  $\log G(x)$ 를 구한다.

부록에서 4719개의 15차 이하 기약 다항식들의 이산로그 중 일부분을 제시하였다.

부록에서 다항식이 00001F라 함은  $x^4 + x^3 + x^2 + x + 1$ 를 뜻한다. 프로그램은 FORTRAN으로 하였으며, IBM 3090에 구현하였다.

### 4. 향상된 알고리즘 및 앞으로의 전망

본 연구의 실행시 우리는  $GF(2^n)$ 에서의 기저로서 관용기저  $\{1, x, \dots, x^{n-1}\}$ 를 사용하였다. 관용기저를 사용하면 원소의 형태가 단순하게 표시되는 장점이 있지만 실행시 많은 시간을 소요하는 곱셈 및 멱승연산이 시간이 많이 걸리고 VLSI Chip 설계가 용이하지 못하다는 단점이 있다.

이러한 단점을 극복한 정규기저를 이용한 고속 연산 방법을 1982년 Massey-Omura가 제시하였고,

Itoh-Tsujii, C. C. Wang들에 의해 개선 구현 되었으며[13, 14], 특히 고속처리를 위해 승산기 설계시 EX-OR gate 수를 최소화시키는 최적 정규기저(optional normal basis)에 대해 Vanston 등[2, 11]이 연구하고 있으며, 본 연구팀도 self-dual 정규기저와 최적 정규기저와의 관계에 대해 연구하고 있으며, 내년 봄경에는 결과가 나올 것으로 예상하고 있다. 국내에서도 몇몇 학자가 이 분야에 관심을 가지고 결과를 발표하였다[16, 17].

또한 미지수 16000여개의 일차 선형 방정식을 유한체에서 풀기 위해 Gauss 소거법을 이용하였으며, 이 부분이 전 시행 과정시간의 많은 부분을 차지하였다. 이 부분은 Wiedeman의 Sparse 행렬 방법[13]을 이용하면 개선할 여지가 있다.

고속 연산이 가능한 super-computer의 등장 및 여러가지 효율적인 이산대수 계산법의 등장으로 안전성을 요하는 암호 시스템에서는  $GF(2^n)$  적어도  $n > 2000$ 이 되어야 된다고 생각한다[12].

### 참 고 문 헌

1. L. Adleman, "A subexponential for the discrete logarithm problem with applications to cryptography," in Proc. IEEE 20th Annual Symposium on Foundations of Computer Science, 1979, pp. 55-60.
2. B. E. Agnew, R. C. Mullin, I. M. Onyszchuk and S. A. Vanstone "An Implementation for a fast Public key Cryptosystem," J of Cryptology, Vol. 3, 1991, pp. 63-79.
3. E. R. Berlekamp, "Factoring polynomials over finite fields," Bell Syst. Tech. J., Vol. 46, pp. 1853-1859, 1967.
4. I. F. Blake, R. Fuji-Hara, R. C. Mullin, and S. A. Vanstone, "Computing logarithms in finite fields of characteristic two," to appear in SIAM J. Algebraic and Discrete Methods.
5. M. E. Hellman and J. M. Reyneri, "Fast computation of discrete logarithms in  $GF(q)$ ," Proceedings of Crypto'82, Plenum Press, 1983.
6. R. Lidl, H. Niederreiter, Finite Field, Addison-Wesley, 1983.
7. T. Itoh and S. Tsujii, "An effective recursive algorithm for computing multiplicative inverses in  $GR(2^n)$ ," 1988 IEEE international symposium on information theory, pp. 251, June 1988.
8. D. E. Knuth, The Art of Computer Programming, Vol. 2. New York: Addison-Wesley, 1971, pp. 351-354.
9. F. J. Macwilliams and N. J. A. Sloane, "The theory of Error-Correcting Codes," North-Holland, N. Y., 1977.
10. J. L. Massey and J. K. Omura, "Computational method and apparatus for finite field arithmetic," U. S. patent, submitted 1981.
11. R. C. Mullin, I. M. Onyszchuk, S. A. Vanstone and R. M. Wilson, "Optional normal bases in  $GR(p^m)$ ," Discrete applied mathematics, Vol. 22, 1989, pp. 149-161.
12. A. M. Odlyzko, "Discrete logarithms in finite fields and their cryptographic significance," to appear in Proceedings of Eurocrypt'84.
13. C. C. Wang, "VLSI architecture for computing multiplications and inverse in  $GF(2^n)$ ," IEEE trans. on Comput., C-34, 709-177 Aug. 1985.
14. C. C. Wang, "Exponentiation in finite fields," University of California, Los Angeles, PH. D., 1985.
15. D. Wiedemann, "Solving sparse linear equations over finite fields," manuscript in preparation.
16. 이창순, 백기진, 문상래, "GF(2)상의 최적 정규기저를 갖는 기약다항식의 발견에 관한 연구" 통신정보합동학술대회 논문집, 제 1권, 1991, pp. 36-42.

17. 조인호, 임종인, 서광석, "정규기저를 사용한 유한체에서의 고속 연산에 관한 연구," Proc. K. M. S. 1989(4).

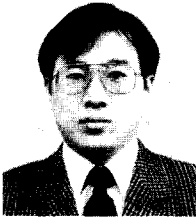
## □ 著者紹介

### 趙寅鎬(正會員)



高麗大學校 理科大學 數學科(學士)  
 高麗大學校 大學院 數學科(代數學 碩士)  
 高麗大學校 理科大學 講師/독일 뮌헨대학교 수학과(Dr. rer. nat)  
 서울大學校 大學院 講師/梨花女子大學校 數學科 助教授  
 大韓數學會 無任所 理事  
 大韓數學會 會誌 編輯委員/大韓數學會 監査  
 現 高麗大學校 理科大學 數學科 教授/韓國通信情報保護學會 副會長

### 임종인(正會員)



1980年2月 高麗大學校 數學科 卒業(學士)  
 1986年2月 高麗大學校 大學院 卒業(理學博士)  
 現 高麗大學校 自然科學大學 副教授  
 關心分野: 정수론 및 관련응용분야

### 서광석(正會員)

1982년 고대 수학과 졸업  
 1989년 고대 대학원 졸업(석사, 박사)  
 1989년 고대 부설 산업 개발 연구소 선임 연구원  
 1991년 서남대학 수학과

부 록

SOLUTION

INDEX	POLINOMIAL	COEFFICIENT OF POWER.
251	000937	0165674737766250931998457082560835877252
252	000938	0012717136423271261469057263253372321316
253	00093D	0166379840345691150179380712255280263497
254	000945	0036645298601856561244459908976238477384
255	000949	0084096306851653794177534762536042157272
256	000951	0055706902312003022570582143079715115711
257	000958	0107940252318750245916397428861346161216
258	000973	0054117406069505185480444177358046350418
259	000975	0013119220526682440776769841539944722955
260	00097F	0147315236074712241409037492765020477578
261	000983	0014191235666220349662894583624296363229
262	00098F	0072902248152324832234350231216864075821
263	0009AB	0161629644875347697607940740988450538511
264	0009AD	0150976547543858977485317355453445177561
265	0009B9	0140089102183119279055693045794593224795
266	0009C7	0040474036777821847388662963595739982747
267	0009D9	-0090360374206898156463426151173319108300
268	0009E5	0094239427793279331019109939851775313717
269	0009EF	0065392121401043081556310980046317108639
270	0009F7	0034303050954871035446546355243952159869
271	000A01	0120907857826278730026564522879490670349
272	000A07	0118851607820464372548306728399105059174
273	000A13	0163314026707116359743077591439326000246
274	000A15	0149871978626994894146185554493348959527
275	000A29	0056170035077415451015794426220402216115
276	000A49	0128721559749434651808649569925285736963
277	000A61	0035595656145250048972277159371512132666
278	000A6D	0143018471854376941159027070091838836572
279	000A79	0011901065532825510939925343859136377784
280	000A7F	0123400566082062181479995915435489345140
281	000A85	0071703733247959870286092936597636242303
282	000A91	0014398339617546583387865260776305034913
283	000A9D	0006485062280198733003378901179248691830
284	000AA7	0055711853147075895328185324438135163893
285	000AAB	0163702656337209159293227300409098960144
286	000AB3	0068663874914224080173177559519492016231
287	000AB5	0123720298808141910338772760236512933797
288	000AD5	0108865312927895961596850242993915617646
289	000ADF	0030464251438212067509671025584279960051

290	000AE3	0039549484346714938758578204486657962016
291	000AE9	0048381165465660517047120794301408162355
292	000AEF	0061558904260919293856436964675544130946
293	000AF1	0117896266749894724401697020892203968422
294	000AFB	0066307619822576430956679620755065229181
295	000B03	0088492655029966845018684615848841903309
296	000B09	0125134531621449525293473588515888935628
297	000B11	0138792123739382885260806946347473271659
298	000B33	0128940393942773339322141124032273843246
299	000B3F	0013120434438076171798317952390318629577
300	000B41	0044855835399468521184968600566214009851

## SOLUTION

INDEX	POLINOMIAL	COEFFICIENT OF POWER.
=====	=====	=====
301	000B4B	0105313592031882995923669531821551180591
302	000B59	0029887275142610888815538940320338911677
303	000B5F	0152113672086434299727170326145990313608
304	000B65	0080887669180484566858449616305095596315
305	000B6F	0146535700349714294580611560992950833700
306	000B7D	0040652285358233033215546091918349369802
307	000B87	0055817371779177479980645324135268610166
308	000B8B	0109922243821387397746770988735813379291
309	000B93	0056071021277678080256942417817167031218
310	000B95	0022767115805317808007262047041090318223
311	000BAF	0026157045182199004597205335156723734569
312	000BB7	0000695697404543141722522401465410805274
313	000BBD	0016608101571355818541065102062645808597
314	000BC9	0019169188223826184219625672855199070590
315	000BDB	0064504378259978459193091688147138014625
316	000BDD	0072081975920497425377402934944869408581
317	000BE7	0071145743866715447875793083367961384134
318	000BED	0125660151259725436016957061175925764960
319	000C0B	0045693435521908407536267657423144431609
320	000C0D	0016248853393712963196599183016039503260
321	000C19	0117080845286437331382087799664552141273
322	000C1F	0078271216918363872750544496748003900160
323	000C31	0146098575964361061008112050099050049567
324	000C57	0076336060213058286955237007053286760525
325	000C61	012616706682701822301261641177126609712
326	000C6B	0167819077085741267114537708194896698230
327	000C73	0031294407975086206555337943416797131061
328	000C75	0080107565947558408179656671921033540644
329	000C85	0034867648557013424826264020023148786464
330	000C89	0070953315889185312909071257573708590876
331	000C97	0143864526849457280564230380878671935095
332	000C9B	0060478519516274044026160002722355015753
333	000C9D	0079261132650632116014758700499822369068
334	000Ca3	0157798681567071652586981023705732664986
335	000CBF	0123834574999542152720834179869041624098
336	000CC7	0018466351104529201091479713851889910671
337	000CCD	0041130547200761203497592032011762744134

338	000C03	0053431892100126609419870325998321749538
339	000C05	0081627927193982424971687489364558581673
340	000CE3	0009798298263573412387909247319235573385
341	000CE9	0032391156108030363353804485433731875834
342	000CF7	0083771451136477679464356408195123547042
343	000D03	0023010425308077379306038584001938698685
344	000D0F	0152357287182711600000812033891673979162
345	000D10	0122577175681834373862777638593802810610
346	000D27	0086136587601675127840962701681877533269
347	000D2D	0138942524962482760509840563087022908051
348	000D41	0044601956899091818540073072880815686130
349	000D47	0120570072584179918786774634249689242868
350	000D55	0041657444301764779924411119074315952203

SOLUTION

INDEX	POLINOMIAL	COEFFICIENT OF POWER.
=====	=====	=====
351	000D59	0084837765709532244374163395862253106608
352	000D63	0165181119552025293480956034931136683621
353	000D6F	0074441011765991534150092459424957047162
354	000D71	0060605481731807639849377382237422411425
355	000D93	0166702014621407623546627037156339896861
356	000D9F	0030657996701096107123813531862458795574
357	000DA7	0113404028395980059237933819065367161756
358	000DBB	0118704990819016744854539680265179784507
359	000DBD	0046216023544734905651333012259437245459
360	000DC9	0005003973020887535560557359373523620801
361	000DD7	0144454950069327512257790262633779179426
362	000DD8	0022378185132598352835337977541060954618
363	000DE1	0033101470257029966065145156340032534403
364	000DE7	0092652181767239377532962082417749697796
365	000DF5	0155363275793105967563718377931070579191
366	000DFF	0084167741900513288770927095720746548482
367	000E05	0019798242676936425589894370051625902993
368	000E10	0143358748770535319505402321639538621265
369	000E21	0129566443717518648655316354627925629720
370	000E27	0074201816152456143615397795832366006799
371	000E2B	0167965736015664887281631815242551317717
372	000E33	0084843084148237755325451241973205871834
373	000E39	0126403990530532709329218973709314820360
374	000E47	0018947624617735818613902420989871670721
375	000E4B	0018748210258094925094866979996256973235
376	000E55	0124913887567147372350613813465384537565
377	000E5F	0052403969179665579233407478596344597688
378	000E71	0112609558560476643917395315422092425253
379	000E7B	0030025393533408826995641242070007681274
380	000E7D	0058560303676499895091696591903158832387
381	000E81	0136513761515070151545536364162225625827
382	000E93	0024236737585830578569217713629840565917
383	000E9F	0126539766312128635666234181759095932273
384	000EA3	0041991145346048822903200715855190385915
385	000EAB	0078474691648580780059995885789314658141



386	000EC9	0146965352594402751009142907308885886198
387	000ECF	0000577275642563848849004843253932972025
388	000EDD	0013235092289556035074466456079693270006
389	000EF3	0146403896667773765177574203931285048024
390	000EF9	0055337427873579608644728135314715996144
391	000F08	0002026853653645323286580073987941211755
392	000F19	0125686828127544132760439715046110919984
393	000F31	0089696004755706374834868672288759459288
394	000F37	0030045855291414020923192814545546757862
395	000F5D	0020424591699706797169232068685923736612
396	000F6B	0018485753612774205226467359768810180061
397	000F6D	0039536289798268727320755609159935270816
398	000F75	0121854412965594483686443238539208346032
399	000F79	0109159831799788323762957995173516719286
400	000F83	0088594420185864396663671146751561115212

## SOLUTION

INDEX	POLYNOMIAL	COEFFICIENT OF POWER.
=====	=====	=====
401	000F91	0050880629624513842997572539325213840718
402	000F97	0152200775980165949411918214962681767278
403	000F98	0005232334782259000831611394076338946826
404	000FA7	0079288520323891446317550716964926476423
405	000FAD	0098784682893334370322464176605415168968
406	000FB5	0159394471513154428254035631708307517610
407	000FCD	0078119987808757014071296705838218991472
408	000FD3	0025176341541870673579409447938576720387
409	000FE5	0167508730007090336061953179201313451075
410	000FE9	0113233970716974317154941722994927685856
411	000FF8	0149886998183490049568552597837232865792
412	001009	0078242654497447261778660573982752723622
413	001017	0013827608412695598210165467555202467195
414	001021	0046528996473535893762096863543320346005
415	001033	0020717529831056763883446697518374258206
416	001035	0139580772605958495444734800953188201095
417	00103F	0082128785378783086499876125526229651372
418	00104D	0086746390082716345283903749889095412060
419	001053	0101840925998463077501481499174666072963
420	001069	0122826545498346611011000939147579740826
421	001077	0044636961670735703707991788292675351175
422	001078	0042731582045131922930936050247839739244
423	00107D	0083555993156560023896141389381619034531
424	001081	0060566148715744769410243639351241986612
425	001088	0118255671020344386178683698253328465171
426	001099	0080498525241201186846490434041300078027
427	0010A3	0169349863057817727406445075632405954378
428	0010A5	0037025679587840206923433617176985312229
429	0010CF	0033320016573430038362263144790046225252
430	0010D1	0087395976252870904654349367166242075986
431	0010EB	0091323489830334086435459508384945000882
432	0010ED	0060441338205711176841091753709532958855
433	0010FF	0139919226649989702305364503065198601960

434	001107	0157828205261191718620409468000940265837
435	00111F	0160750700884098648053708845163812115160
436	001123	0159978999461704646262606113912280351328
437	001131	0101872340424536888195610616368989347696
438	001137	0019566925302360647627520934108669852235
439	001138	0167064003539251066560668973137648989084
440	00114F	0070357090806293417434643682419208568788
441	001157	0157133019225126098843638418064172195839
442	001161	0060271623136876604873405023657389952837
443	001168	0102743451765745308513009748077409371439
444	00116D	0012557786737655032689115780362570494090
445	001179	0004681689938629122186043316598989113127
446	001183	0124375167269780280844254043837097659882
447	001185	0024601858225926626480370350059599970653
448	001191	0153219550840157831189289677713225475494
449	0011AB	0155931311699216456245088395945052711845
450	0011B3	0008280651729273572468911299394541496239

SOLUTION

INDEX	POLYNOMIAL	COEFFICIENT OF POWER.
=====	=====	=====
4701	00FF07	0081580348052123182008312309441737370631
4702	00FF13	0029100468149756424607238983215671505640
4703	00FF23	0156717373138755433958427608039431514011
4704	00FF29	0098583412901729858891303760410352260968
4705	00FF37	0081829930815385469884219601654903590614
4706	00FF4F	0103726065205348061123765821973725028243
4707	00FF57	0162055446567679862150797289536974594769
4708	00FF5D	0080739013065426110956481615621250409341
4709	00FF61	0080193774325319604759738134708229697969
4710	00FF73	0034532204493040519976129228256117346516
4711	00FF7F	0044142650099191952234605595884349133919
4712	00FF8F	0088481789381760814567184762274559249942
4713	00FF91	0129690519787966425929713770335330541685
4714	00FFB3	0125987768637952406799585624949398435422
4715	00FFC7	0128291305300399654462917009332412999122
4716	00FFD9	0002904486843831633332120536424459627882
4717	00FFE9	0128740487226746470479333381535871383819
4718	00FFEF	0122452095305544476683285194837442380858
4719	00FFFD	00000000000000000018741891978888904441729